



БИООРГАНИЧЕСКАЯ ХИМИЯ

том 1 * № 3 * 1975

УДК 547.96;548.737

СТРУКТУРНОЕ ИССЛЕДОВАНИЕ ЦИКЛИЧЕСКИХ ТЕТРАДЕПСИПЕТИДОВ.

II. КРИСТАЛЛИЧЕСКАЯ И МОЛЕКУЛЯРНАЯ СТРУКТУРА
DLLD-ФОРМЫ ЦИКЛОТЕТРАДЕПСИПЕТИДА (-MeVal-HyIv-)₂ *

Тищенко Г. Н., Каримов З., Борисов В. В.

Институт кристаллографии Академии наук СССР, Москва

На базе трехмерного набора отражений, полученного в дифрактометре «Нониус», расшифрована структура DLLD-формы тетрадепептида (-MeVal-HyIv-)₂. Кристаллы моноклинические $a=6,01$ (1), $b=17,78$ (1), $c=11,48$ (1) Å, $\gamma=110,23$ (5)°, $Z=2$, пространственная группа $P2_1/b$. Знаки отражений определены прямым методом Сейра – Захариасена – Конкрана. Структура уточнена методом наименьших квадратов (МНК) в изотропном приближении до $R\ 0,125$. Молекула центросимметрична, пептидная и сложноэфирная группы имеют соответственно *цикло*- и *транс*-конформацию. Обе группы неплоские за счет заместного выхода карбонильного атома О из плоскости других атомов: $\Delta\omega=1-2^\circ$, $|\vartheta_N|=1^\circ$, $|\vartheta_{C'}|=5$ и 15° . Длины связей и величины валентных углов в молекуле близки к стандартным величинам для пептидов.

Группа диастереомеров циклического тетрадепептида (-MeVal-HyIv-)₂, отличающихся различной последовательностью конфигураций атомов C^a, (D и L), была синтезирована в Институте биоорганической химии АН СССР [1] и подвергнута конформационному анализу с использованием физико-химических [2] и расчетных [3] методов. Рентгеноструктурное исследование одного из соединений циклотетрадепептидного ряда (-D-HyIv-L-MeLe-D-HyIv-L-MeLe), отличающегося от вышеупомянутого тетрадепептида только строением боковых радикалов [4], подтвердило правильность расчета [3] для DLLD-формы.

Предварительный рентгеновский анализ показал, что для DLLD-формы молекула в кристалле занимает центросимметричную позицию и, вероятнее всего, имеет конформацию с минимальной величиной внутренней энергии $U_{\text{обш}}$ [3].

В статье приводятся результаты определения структуры этой формы методом дифракции рентгеновских лучей.

Конформация молекулы. Стросные молекулы DLLD-формы показаны на рис. 1. Обозначения атомов даны в соответствии с номенклатурой, предложенной для пептидных систем [5]. Для атомов кислорода сложноэфирных связей принято обозначение O', введенное Карле и Коннертом [4]. Длины связей и величины валентных углов приведены в табл. 1 и 2. В табл. 3 наряду со стандартными конформационными параметрами для пептидной цепи Φ , Ψ , ω , χ даны также параметры $\vartheta_{C'}$ и ϑ_N , предложенные в последнее время для более полной характеристики пептидной еди-

* Сокращения см. сообщение I, стр. 375.

ницы [6, 7]. Двугранные углы $\vartheta_{\text{C}'}$ и ϑ_{N} (так же как и $\Delta\omega_1$) отражают степень отклонения связей, сходящихся на атомах C' и N от плоской конфигурации. Согласно теоретическому расчету [6], три связи, сходящиеся на атоме азота, могут иметь пирамидальную структуру. Анализ структурных данных для 14 малых пептидов (в том числе одного циклического) [7] показал, что $|\nu_{\text{N}}|$ может достигать величины $24,1^\circ$, причем имеет место корреляция между величиной $\Delta\omega$ и ϑ_{N} ($\vartheta_{\text{N}} \sim -1,5\Delta\omega$); в то время как величина $|\vartheta_{\text{C}'}|$ обычно не превышает 2° и только в одном случае возрастает до 4° .

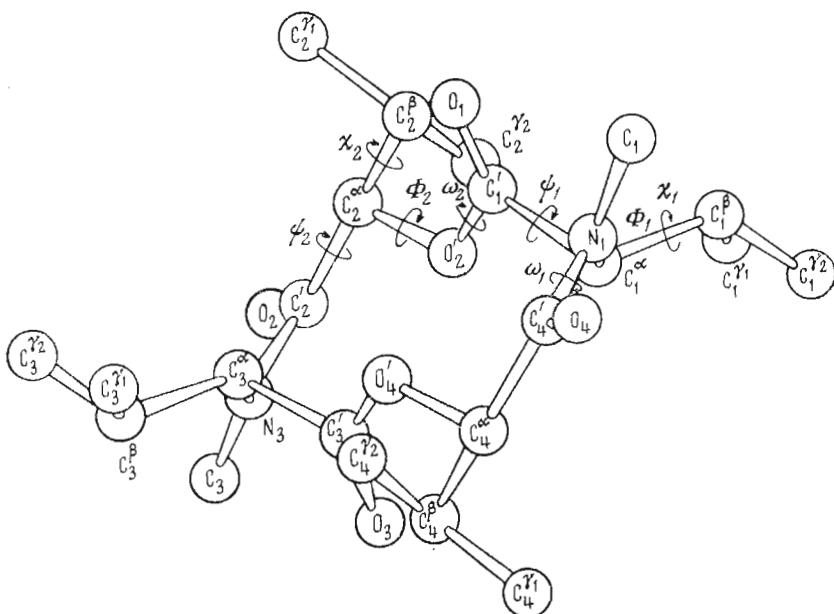


Рис. 1. Конформация молекулы DLLD-формы циклотетрадепсипептида $(-\text{MeVal-Hylv-})_2$

В DLLD-форме циклотетрадепсипептида $(-\text{MeVal-Hylv-})_2$ значения углов $\Delta\omega$ и ν_{N} близки к нулю, а величины $\vartheta_{\text{C}'}$ существенно от него отличаются за счет значительного выхода атома O из плоскости других атомов пептидных и сложноэфирных групп. Этот результат не вполне согласуется с выводами Рамачандрана и др. [6, 7]. Однако для циклических депсипептидов возможны существенные отклонения от закономерностей, наблюдаемых для линейных пептидов. В единственном депсипептиде $(-\text{D-Hylv-L-Melle-D-Hylv-L-MeLeu-})$, изученном ранее [4], имеет место тот же тип нарушения плоскостности пептидных и сложноэфирных групп $\vartheta_{\text{N}} 40'$ и $4^{\circ}40'$, $\vartheta_{\text{C}'} 9^\circ$, $5^{\circ}40'$, $2^{\circ}30'$ и $13^{\circ}50'$ (углы ϑ_{N} , $\vartheta_{\text{C}'}$ вычислены нами по опубликованным [4] координатам атомов).

Конформация пептидного остова молекулы определяется строением двух почти плоских пептидных единиц, имеющих *цис*-конформацию, и двух сложноэфирных группировок в *транс*-конфигурации, а также углами поворота вокруг связей N—C^α(φ) и C^α—C'(ψ). Появление *цис*-конфигурации третично-амидных групп связано со стерическими затруднениями, возникающими при замыкании цикла. В соответствии с центросимметричностью молекулы C=O связи расположены попарно под и над плоскостью цикла. Экспериментальные значения конформационных параметров близки к вычисленным для энергетически наиболее выгодной структуры цикла [3] (табл. 3).

Длины связей и величины связевых углов (табл. 1 и 2, точность определения 0,02 Å и 0,8°) хорошо согласуются со значениями, найденными

Таблица 1

Длины связей (\AA) в структуре **DLLD**-формы
(обозначения в соответствии с рис. 1)

Связи	$j=1,3$	$j=2,4$	Связи	$j=1,3$	$j=2,4$
NC^α	1,48		$\text{C}^\beta\text{C}^{\gamma_1}$	1,57	1,52
$\text{O}'\text{C}^\alpha$		1,48	$\text{C}^\alpha\text{C}'$	1,52	1,56
NC	1,50		$\text{C}'\text{O}$	1,26	1,22
$\text{C}^\alpha\text{C}^\beta$	1,56	1,56	$\text{C}'\text{O}'$		1,34
$\text{C}^\beta\text{C}^{\gamma_1}$	1,54	1,58	$\text{C}'\text{N}$	1,34	

Таблица 2

Величины валентных углов в структуре **DLLD**-формы
(обозначение атомов см. рис. 1)

Угол	Град.	Угол	Град.
$\text{O}_4\text{C}'\text{N}_1$	119,1	$\text{C}_1^{\gamma_1}\text{C}_1^{\beta}\text{C}_1^{\gamma_2}$	107,5
$\text{O}_3\text{C}'\text{C}_4^\alpha$	119,6	$\text{C}_1^{\alpha}\text{C}_1'\text{O}_2'$	110,9
$\text{C}_4^{\alpha}\text{C}'\text{N}_1$	121,1	$\text{C}_1^{\alpha}\text{C}_1'\text{O}_1$	124,8
$\text{C}_4'\text{N}_1\text{C}_1$	120,0	$\text{O}_1\text{C}_1'\text{O}_2'$	124,4
$\text{C}_4'\text{N}_1\text{C}_1^\alpha$	121,6	$\text{C}_2^{\alpha}\text{O}_2'\text{C}_1'$	115,7
$\text{C}_1\text{N}_1\text{C}_1^\alpha$	118,1	$\text{O}_2'\text{C}_2^{\alpha}\text{C}_2^{\beta}$	108,7
$\text{N}_1\text{C}_1^{\alpha}\text{C}_1^\beta$	111,1	$\text{C}_2'\text{C}_2^{\alpha}\text{O}_2'$	103,2
$\text{N}_1\text{C}_1^{\alpha}\text{C}_1'$	109,5	$\text{C}_2'\text{C}_2^{\alpha}\text{C}_2^{\beta}$	115,0
$\text{C}_1'\text{C}_1^{\alpha}\text{C}_1^\beta$	110,6	$\text{C}_2^{\alpha}\text{C}_2^{\beta}\text{C}_2^{\gamma_1}$	108,1
$\text{C}_1^{\alpha}\text{C}_1^{\beta}\text{C}_1^{\gamma_1}$	109,6	$\text{C}_2^{\alpha}\text{C}_2^{\beta}\text{C}_2^{\gamma_2}$	117,6
$\text{C}_1^{\alpha}\text{C}_1^{\beta}\text{C}_1^{\gamma_2}$	107,5	$\text{C}_2^{\gamma_1}\text{C}_2^{\beta}\text{C}_2^{\gamma_2}$	111,1

Таблица 3

Конформационные параметры для **DLLD**-формы
(в скобках приведены данные расчета [3] для структуры
с минимальной величиной $U_{\text{общ}}$)

j	φ_j	ψ_j	ω_j	θ_N	θ_C'
1	98(103)	-40(-45)	179	1	-15
2	24(22)	-130(-101)	0		5
3	-98(-103)	40(45)	-179	1	15
4	-24(-22)	130(101)	-2		-5

в других пептидах [8], а также в циклотетрадепептиде (*-D-Hylv-L-Melle-D-Hylv-L-MeLeu-*) [14] и свидетельствуют об отсутствии заметных напряжений в цикле.

В табл. 4 приведены длины связей C—H, полученные на данной стадии исследования. Значительный разброс в длинах этих связей говорит о необходимости дальнейшего уточнения структурных параметров атомов водорода.

Таблица 4

Длины связей (Å), включающих атомы H, в структуре
DLLD-формы
(обозначения см. рис. 1 и табл. 6)

Связи	$j=1,3$	Связи	$j=2,4$
C—H ₁	0,96	C ^z —H ₁₂	1,13
C—H ₂	1,13	C ^β —H ₁₃	1,02
C—H ₃	1,20	C ^{γ₁} —H ₁₄	1,06
C ^α —H ₄	1,16	C ^{γ₁} —H ₁₅	1,18
C ^β —H ₅	1,08	C ^{γ₁} —H ₁₆	1,08
C ^{γ₁} —H ₆	0,90	C ^{γ₂} —H ₁₇	1,04
C ^{γ₁} —H ₇	0,80	C ^{γ₂} —H ₁₈	1,04
C ^{γ₂} —H ₈	1,28	C ^{γ₂} —H ₁₉	1,28
C ^{γ₂} —H ₉	1,14		
C ^{γ₂} —H ₁₀	0,83		
C ^{γ₂} —H ₁₁	1,28		

На рис. 2 представлена упаковка молекул в структуре и пунктирными линиями показаны кратчайшие контакты между ними. Аномально коротких межмолекулярных расстояний в структуре нет.

Экспериментальная часть

Кристаллы DLLD-формы имели форму игл с удлинением вдоль оси *a*. Параметры моноклинной ячейки были определены по рентгенограммам Вайсенберга и уточнены на дифрактометре ДРОН-1: $a=6,02(1)$, $b=17,78(1)$, $c=11,48(1)$ Å, $\gamma=110,23(5)^\circ$. При величине $\rho_{\text{плот}}=1,23$ г/см³ в ячейке объема $V=1153,0$ Å³ содержится 2 молекулы состава C₂₂H₃₈N₂O₆. По систематике погасаний установлена пространственная группа P2₁/b. Поскольку кратность общего положения в этой пространственной группе равна 4, молекула занимает частное положение в центре инверсии, т. е. является центросимметричной.

Трехмерный набор интенсивностей был получен на автоматическом трехкружном дифрактометре «Нониус» на CuK_α-излучения с Ni-фильтром. Угол сканирования $\omega=0,9^\circ$. Всего было зарегистрировано ~ 3000 отражений. Из массива были исключены рефлексы с разницей интенсивностей эквивалентных отражений, превышающей 15% от их величины. После усреднения по эквивалентным отражениям окончательный набор составил 1300 независимых неэквивалентных отражений.

Структура определена прямым методом Сейра — Захариассена — Кокрена [9]. Предварительно были нормированы структурные амплитуды и определены коэффициент приведения к абсолютной шкале *K* и общий изотропный температурный фактор $B=2,0$ Å². Из 288 рефлексов с $E \geq 1,2$ были составлены 1643 тройных произведения. В качестве опорных выбрали 10 отражений (в том числе три координатные). Расчет знаков велся с критериями P_{\min} 0,96 и δ 0,75. Из 128 вариантов знаков автоматически были отобраны 6 лучших, среди которых резко выделился один вариант со следующими оценками: $Q_1=278$, $R_1=0,875$, $Q_2=171$, где Q_1 — число определенных знаков, R_1 — отношение суммы положительных тройных произведений к сумме всех тройных произведений, Q_2 — число отрицательных знаков.

По знакам этого варианта был построен *E*-ряд, координаты наиболее сильных 15 пиков которого были использованы для расчета фаз и по-

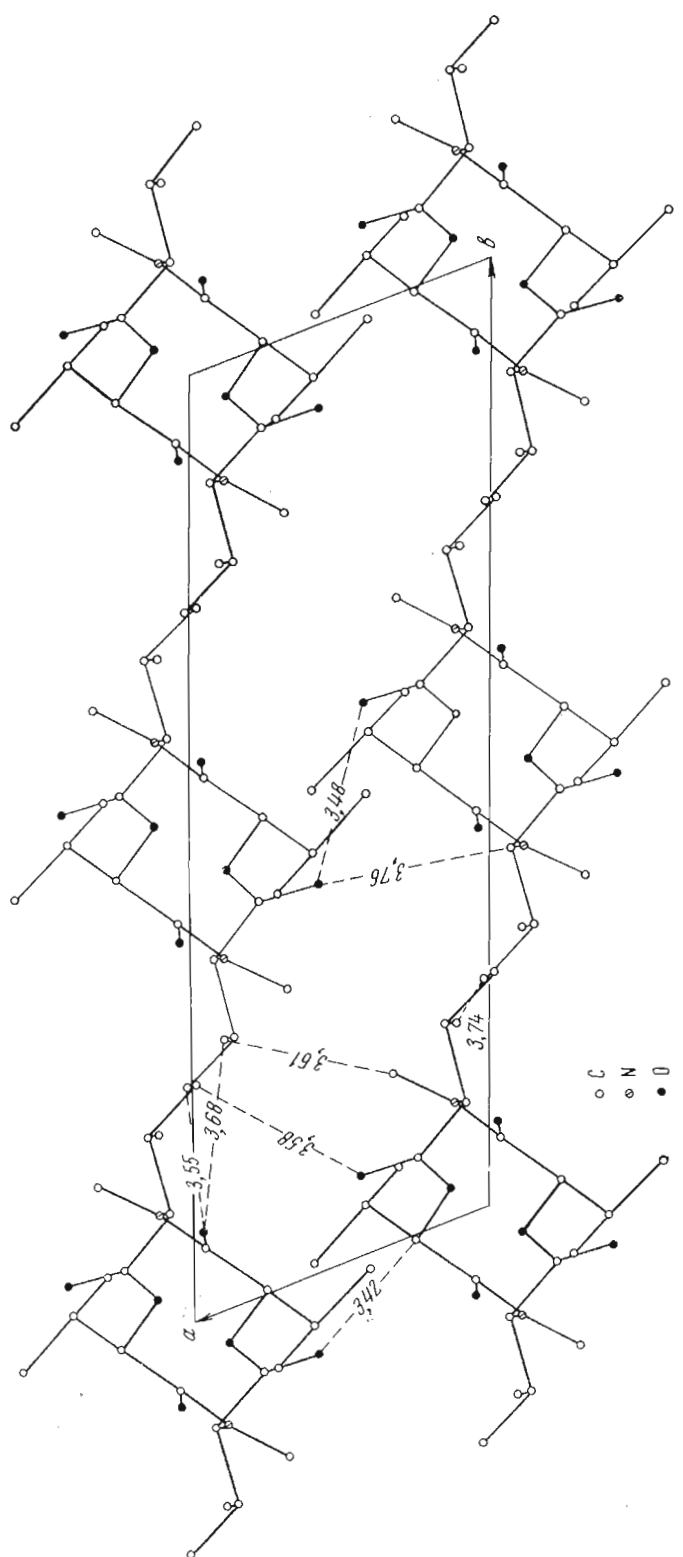


Рис. 2. Упаковка молекул в структуре $DLLD$ -формы циклотетрапептида $(-\text{MeVal}-\text{HyIV}-)_3$

Таблица 5

Координаты атомов и их индивидуальные тепловые поправки
в структуре *DLLD*-формы
(в скобках — стандартные отклонения) *

АТОМ	<i>x/a</i>	<i>y/b</i>	<i>z/c</i>	<i>B</i>
O _{2'}	0,1226 (10)	0,0393 (3)	0,3837 (6)	2,29 (2)
O ₁	0,5694 (12)	0,4123 (4)	0,0066 (6)	3,71 (2)
O ₄	0,0517 (12)	0,4101 (5)	0,3376 (6)	4,26 (2)
N ₁	0,8904 (15)	0,3758 (6)	0,1610 (7)	2,62 (2)
C ₂ ^α	0,2540 (18)	—0,0042 (6)	0,3178 (9)	2,56 (4)
C ₁ ^α	0,9194 (18)	0,3748 (5)	0,0324 (9)	2,55 (4)
C ₁ ^γ	0,2356 (18)	0,0820 (6)	0,4764 (9)	2,30 (4)
C ₂ ^β	0,4143 (18)	0,0524 (6)	0,2266 (9)	3,20 (4)
C ₄ ^γ	0,0612 (19)	0,4235 (6)	0,2312 (9)	2,80 (4)
C ₁ ^β	0,1443 (18)	0,2113 (6)	0,4861 (9)	3,00 (4)
C ₁	0,6770 (18)	0,3149 (6)	0,2165 (9)	3,92 (4)
C ₂ ^{γ₁}	0,5909 (18)	0,0138 (6)	0,1758 (9)	4,63 (4)
C ₁ ^{γ₁}	0,1143 (17)	0,2115 (6)	0,3527 (9)	4,09 (4)
C ₁ ^{γ₂}	1,0203 (18)	0,2496 (6)	0,0388 (9)	4,15 (4)
C ₂ ^{γ₂}	0,2913 (18)	0,0814 (6)	0,1314 (9)	3,91 (4)

* Обозначения атомов см. рис. 1.

Таблица 6

Координаты атомов водорода в структуре *DLLD*-формы

АТОМ	<i>x/a</i>	<i>y/b</i>	<i>z/c</i>	Связан с атомом
H ₁	0,562	0,341	0,233	C ₁
H ₂	0,636	0,251	0,244	C ₁
H ₃	0,574	0,343	0,140	C ₁
H ₄	0,110	0,412	0,004	C ₁ ^α
H ₅	0,686	0,247	0,022	C ₁ ^β
H ₆	0,984	0,182	0,322	C ₁ ^{γ₁}
H ₇	0,234	0,215	0,367	C ₁ ^{γ₁}
H ₈	0,179	0,457	0,289	C ₁ ^{γ₂}
H ₉	0,010	0,252	0,140	C ₁ ^{γ₂}
H ₁₀	0,857	0,232	0,495	C ₁ ^{γ₂}
H ₁₁	0,962	0,314	0,493	C ₁ ^{γ₂}
H ₁₂	0,331	0,474	0,102	C ₂ ^α
H ₁₃	0,480	0,108	0,266	C ₂ ^β
H ₁₄	0,684	0,484	0,270	C ₂ ^{γ₁}
H ₁₅	0,490	0,444	0,348	C ₂ ^{γ₁}
H ₁₆	0,718	0,064	0,220	C ₂ ^{γ₁}
H ₁₇	0,144	0,094	0,155	C ₂ ^{γ₂}
H ₁₈	0,320	0,050	0,059	C ₂ ^{γ₂}
H ₁₉	0,392	0,140	0,060	C ₂ ^{γ₂}

строения трехмерного синтеза электронной плотности, причем рассеивающая способность всех заданных атомов считалась равной рассеивающей способности атома углерода. Фактор расходимости на этом этапе $R=0,33$.

Анализ полученного синтеза Фурье, содержащего 17 пиков, дал возможность сформировать молекулу, причем уже на этой стадии распределение пиков по высотам соответствовало соотношению рассеивающих способностей атомов: 3 наиболее сильных пика отвечали атомам кислорода, следующий — атому азота, 11 — атомам углерода и, наконец, последние два, высота которых составляла не более 0,09 высоты остальных пиков, как было выяснено позже, соответствовали атомам водорода, связанным с атомами C_2^{γ} и C_1^{α} (обозначения см. рис. 1).

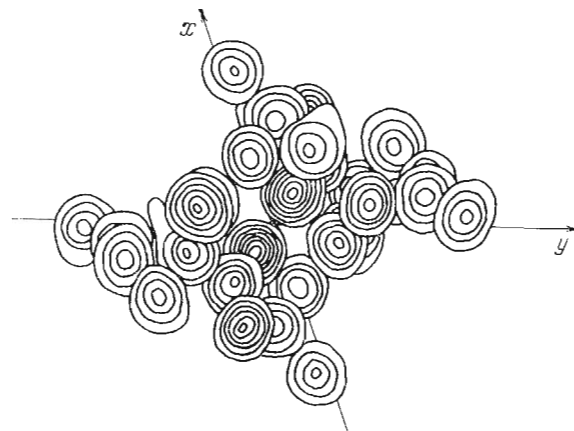


Рис. 3. Сечения через центры пиков синтеза электронной плотности *DLLD*-формы циклотетрадепсипептида $[-\text{MeVal}-\text{HyIv}-]_2$ в проекции на плоскость xy

Методом последовательных приближений рядов электронной плотности с учетом индивидуальных рассеивающих способностей атомов были получены координаты атомов C, N, O, послужившие исходными для уточнения МНК в изотропном приближении с начальным фактором расходимости $R=0,266$. Структура уточнена до R -фактора 0,143, $B_{\text{общ}}=3,19 \text{ \AA}$. На рис. 3 представлено положение сечений, проведенных через центры пиков окончательного синтеза электронной плотности параллельно плоскости xy . Далее было проведено определение положения атомов водорода из трехмерного разностного ряда Фурье. Анализ пиков полученного синтеза путем подсчета углов и расстояний, включающих атомы водорода ($\angle \text{CCH}$, $\angle \text{OCH}$, $\angle \text{NCH}$, $\angle \text{HCH}$, C—H), выявил все 19 атомов водорода независимой части молекулы. При этом 16 из 19 атомов соответствовали пикам, входящим в число 22 сплюснувших пиков разностного ряда.

Учет атомов водорода при задании их индивидуальных изотропных температурных факторов равными увеличенным на единицу величинам B для связанных с ними неводородных атомов снизил величину R -фактора до 0,125, т. е. примерно на 0,02. Координаты неводородных атомов вместе с их изотропными тепловыми поправками приведены в табл. 5. Координаты водородных атомов даны в табл. 6. Предполагается дальнейшее уточнение структуры по МНК в анизотропном приближении.

Авторы глубоко признательны В. Т. Иванову и А. В. Евстратову за предоставление кристаллов, а также за полезные обсуждения и постоянный интерес к работе.

ЛИТЕРАТУРА

1. Шемякин М. М., Овчинников Ю. А., Иванов В. Т., Евстратов А. В., Михалева И. И., Рябова И. Д. (1972) Ж. общ. химии, 42, 2320–2334.
2. Ovchinnikov Yu. A., Ivanov V. T., Peck G. Ya., Shemyakin M. M. (1965) Acta chim. hung., 44, 211–218.
3. Плетнев В. З., Попов Е. М. (1970) Изв. АН СССР. Сер. хим., № 5, 991–995.
4. Konnert J., Karle I. L. (1969) J. Amer. Chem. Soc., 91, 4888–4892.
5. IUPAC—IUB Commission on Biochemical Nomenclature (1970) Biochemistry, 9, 3471–3479.
6. Ramachandran G. N., Lakshminarayan A. V., Kolaskar A. S. (1973) Biochim. et biophys. acta, 303, 8–13.
7. Ramachandran G. N., Kolaskar A. S. (1973) Biochim. et biophys. acta, 303, 385–388.
8. Marsh R. E., Donohue J. (1967) Advances Protein Chem., 22, 235–256.
9. Андрианов В. И., Тарнопольский В. Л., Шибаева Р. П. (1969) Ж. структурн. химии, 10, 116–123.

Поступила в редакцию
31.VII.1974

STRUCTURAL STUDY OF CYCLIC TETRADEPSIPEPTIDES.

II. THE CRYSTAL STRUCTURE OF THE DLLD-FORM OF CYCLOTETRADEPSIPEPTIDE ($[-\text{MeVal}-\text{HyIv}-]_2$)

G. N. TISHCHENKO, Z. KARIMOV, V. V. BORISOV

Institute of Crystallography, Academy of Sciences
of the USSR, Moscow

The crystal structure of the DLLD-form of cyclotetradepsipeptide $[-\text{MeVal}-\text{HyIv}-]_2$ has been solved by the direct method on the basis of three-dimensional X-ray intensity data collected with an automatic diffractometer. The refinement of the structure has been performed by least squares method with the isotropic thermal parameters to the R index of 0.125. The molecule is centrosymmetrical, N-methyl amide and ester bonds have *cis*- and *trans*-configuration respectively. These groups are non-planar due to considerable deviation of the O atom of the carbonyl group from the plane of other atoms: $\Delta\omega=1$ and 2° , $|\vartheta_N|=1^\circ$, $|\vartheta_C|=5$ and 15° . The bond lengths and bond angles (standard deviations 0.02 Å and 0.8°) are close to the standard values for peptides. The material crystallizes in monoclinic space group $P2_1/c$ with the cell parameters $a=6.01$ (1), $b=17.78$ (1), $c=11.48$ (1) Å, $\gamma=110.23$ (5)°, $Z=2$.